

圖 1

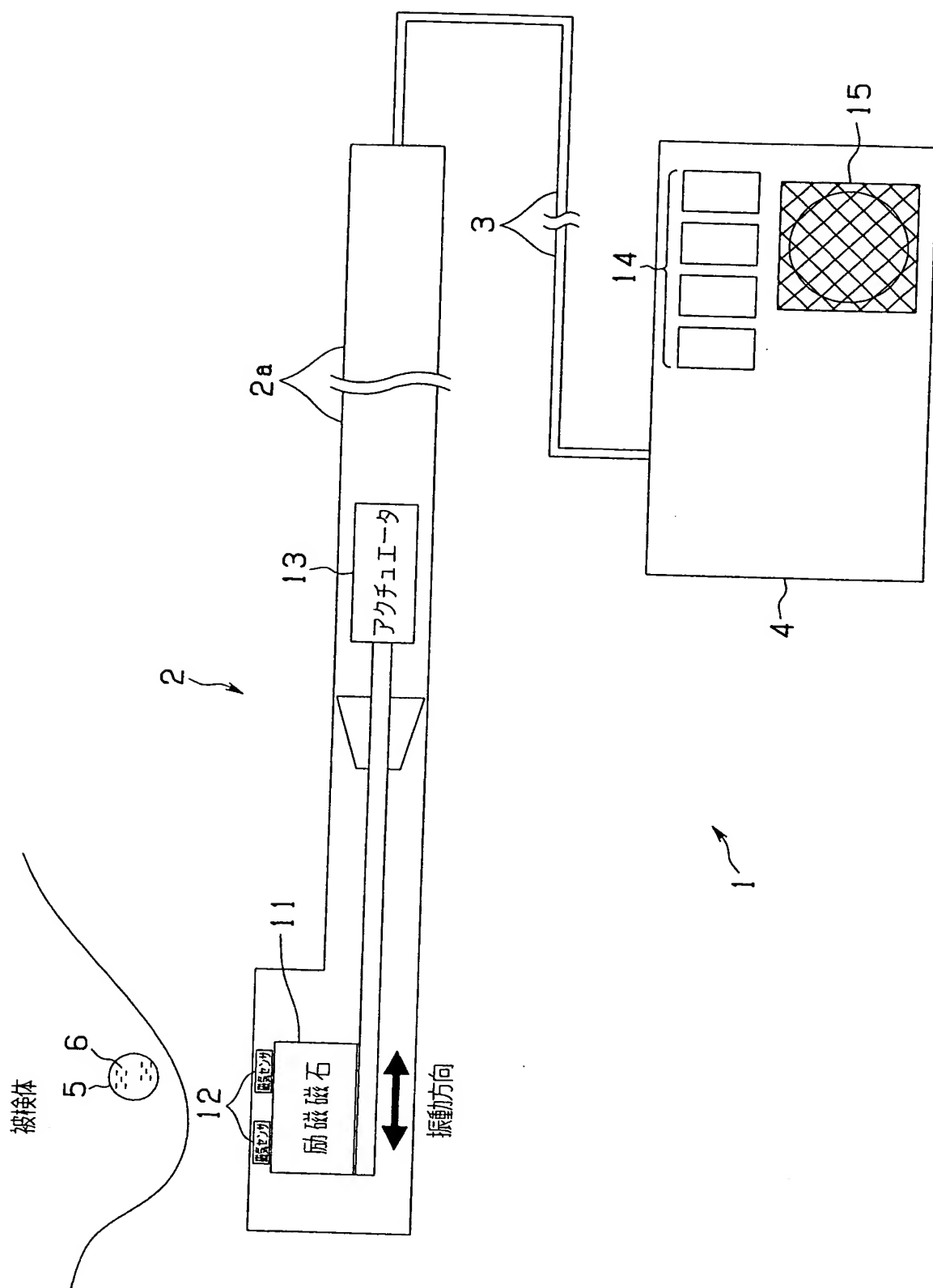


图2A

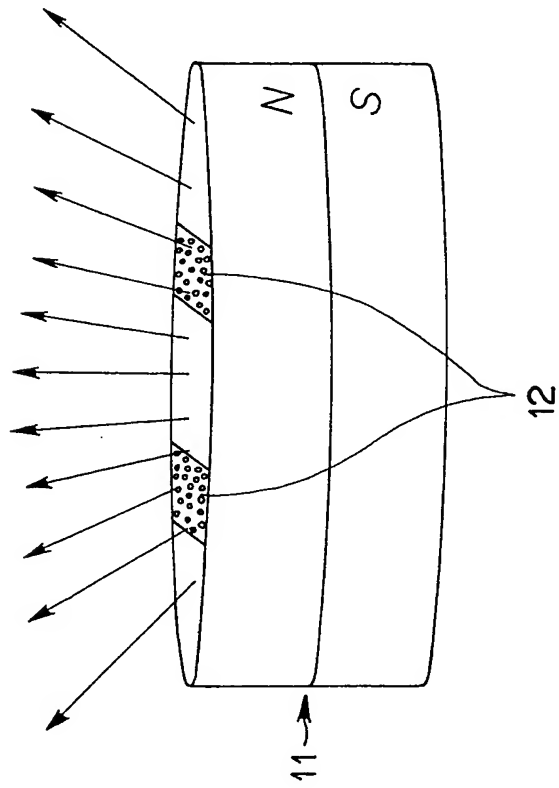


图2B

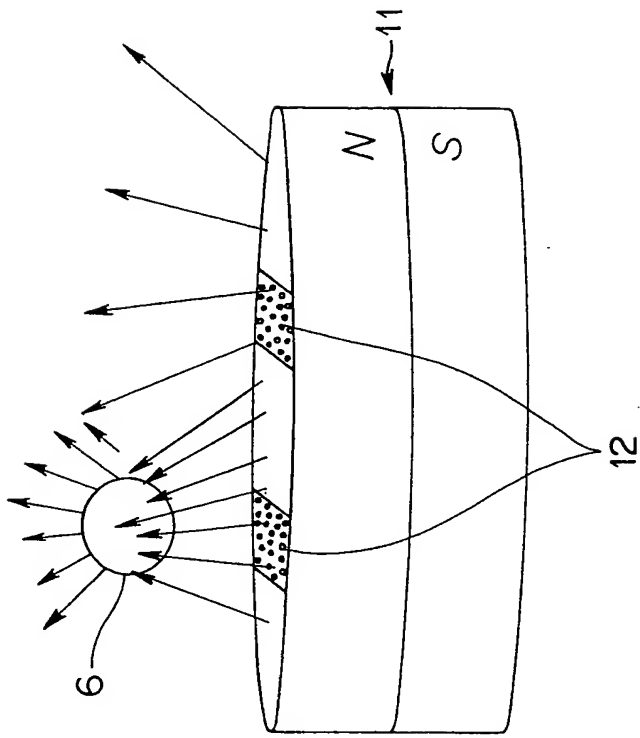


图3A

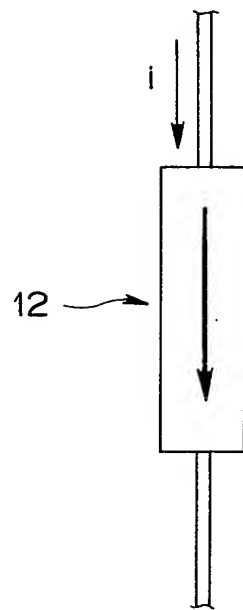


图3B

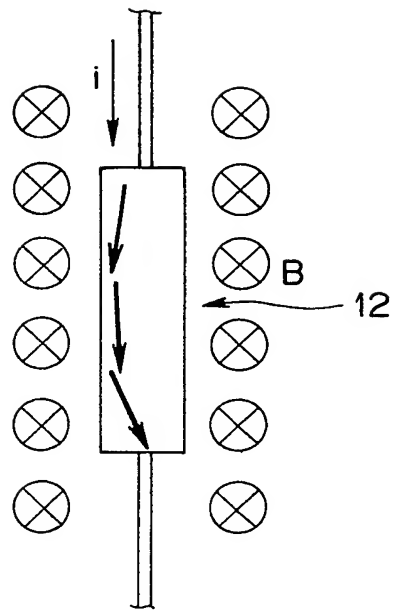


图4A

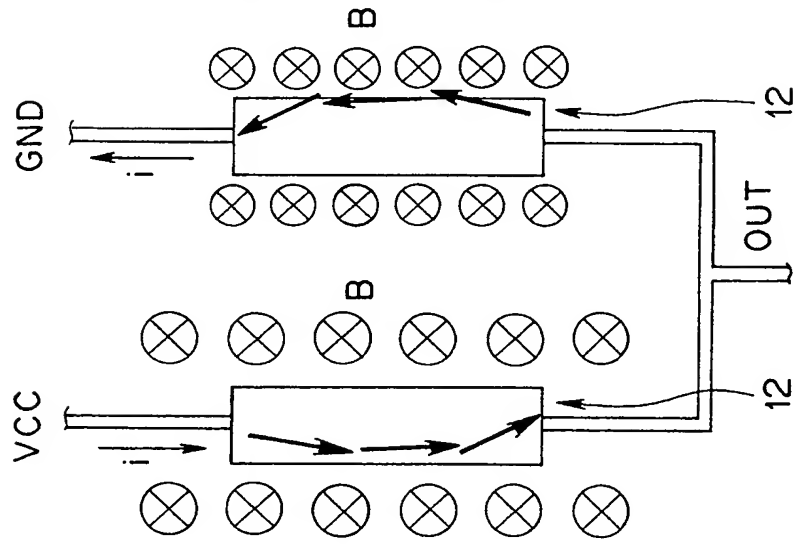


图4B

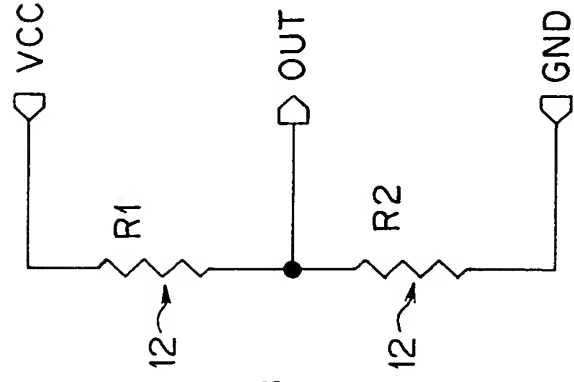
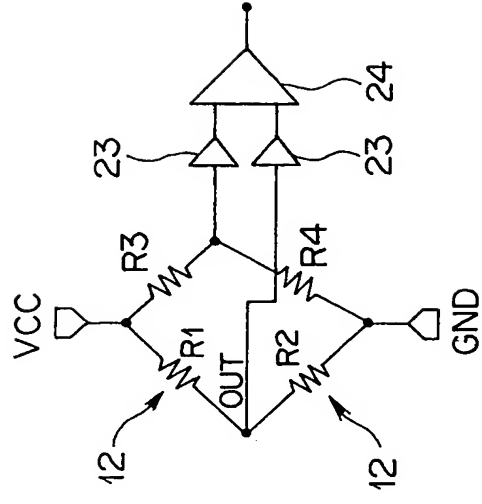


图4C



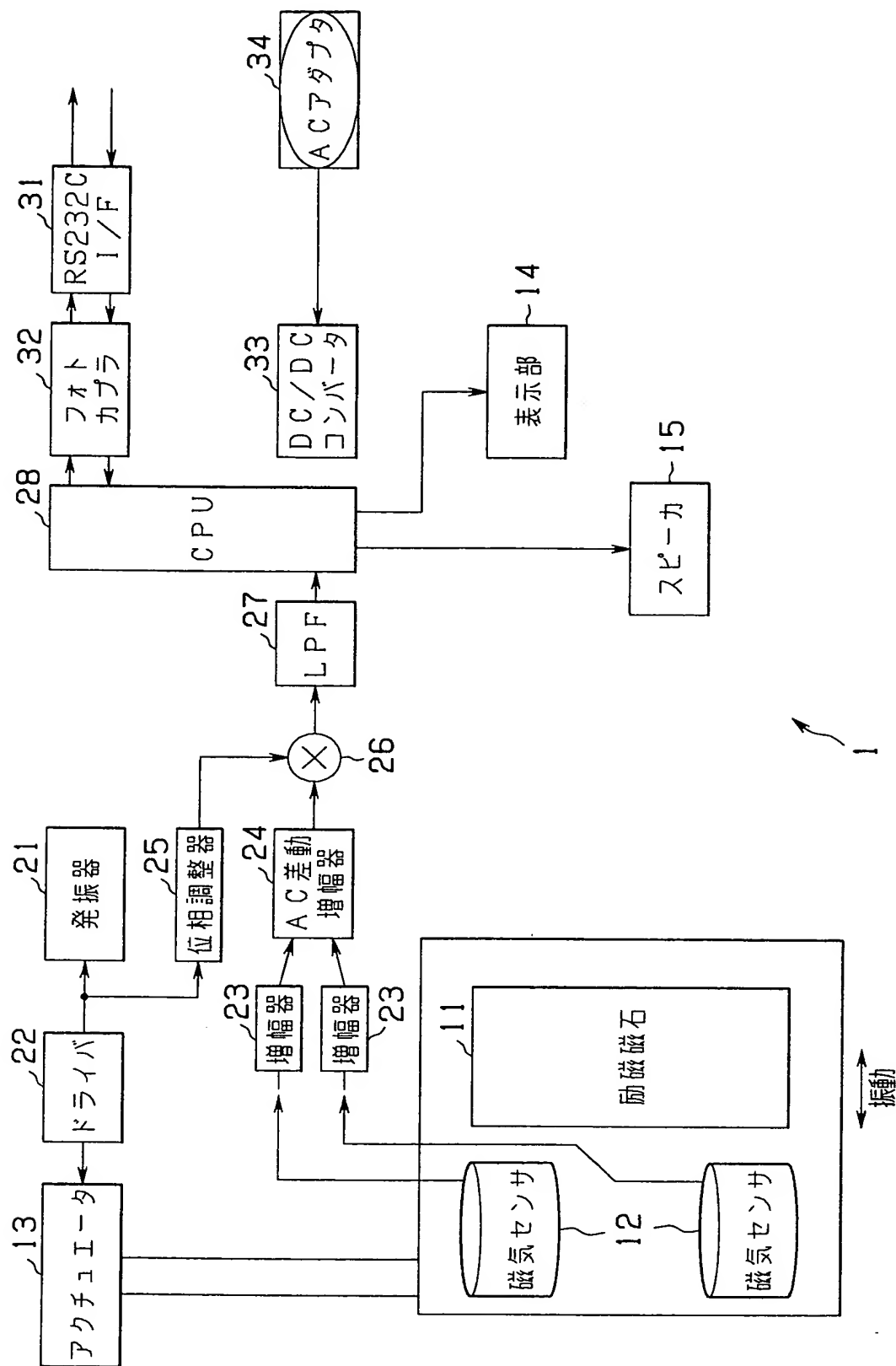


図 6

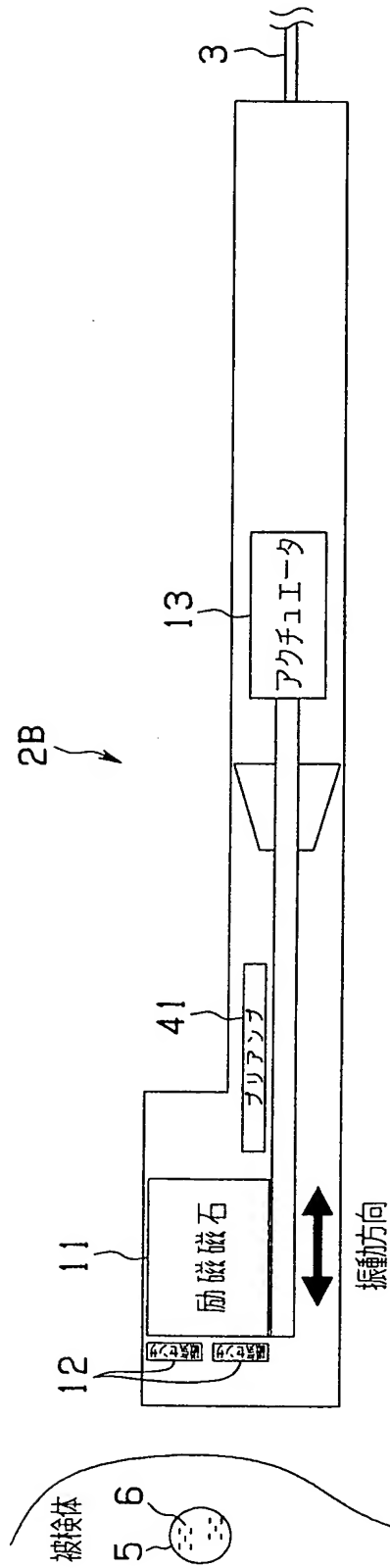


図 8

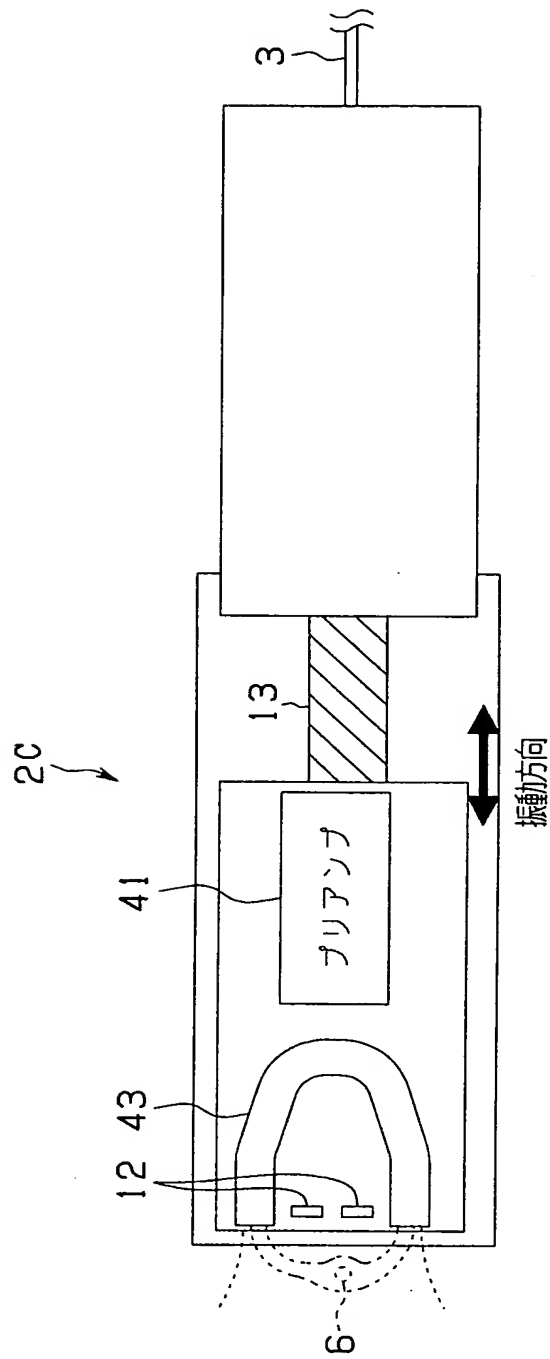


図 7

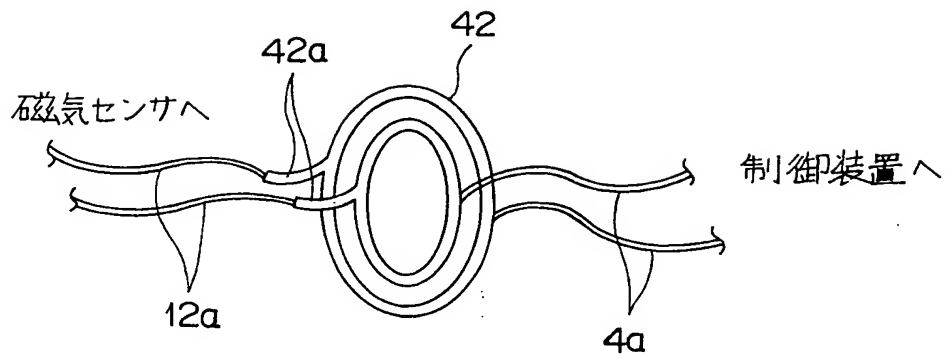


図 12

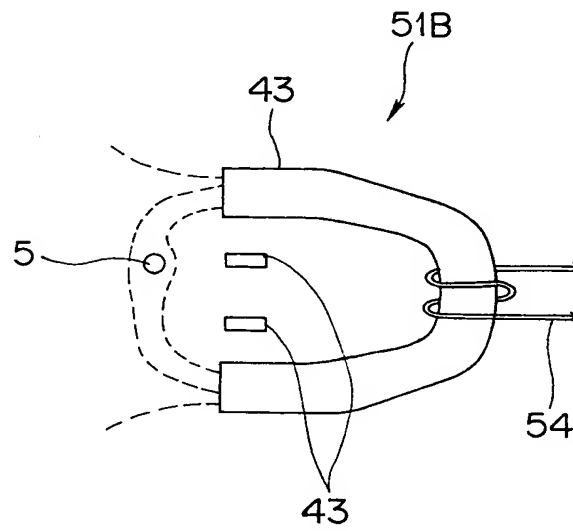


図 16A

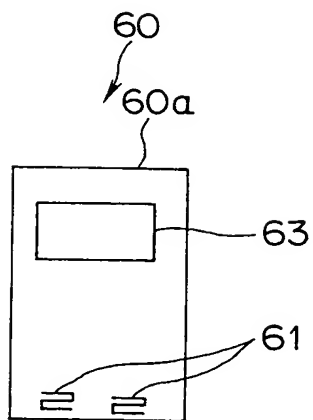
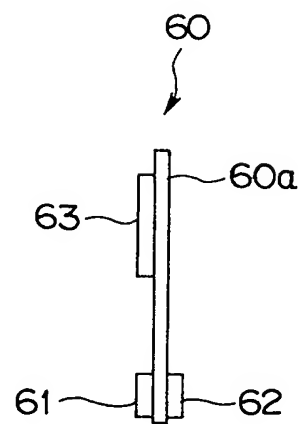
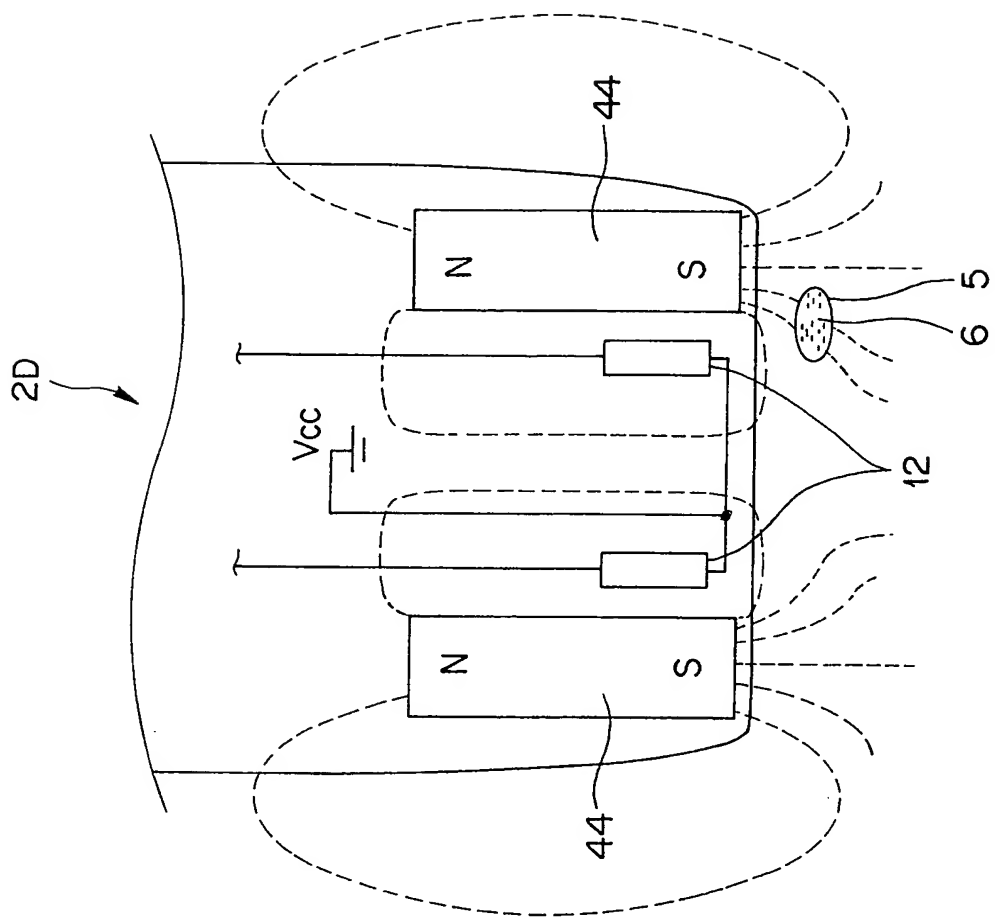


図 16 B





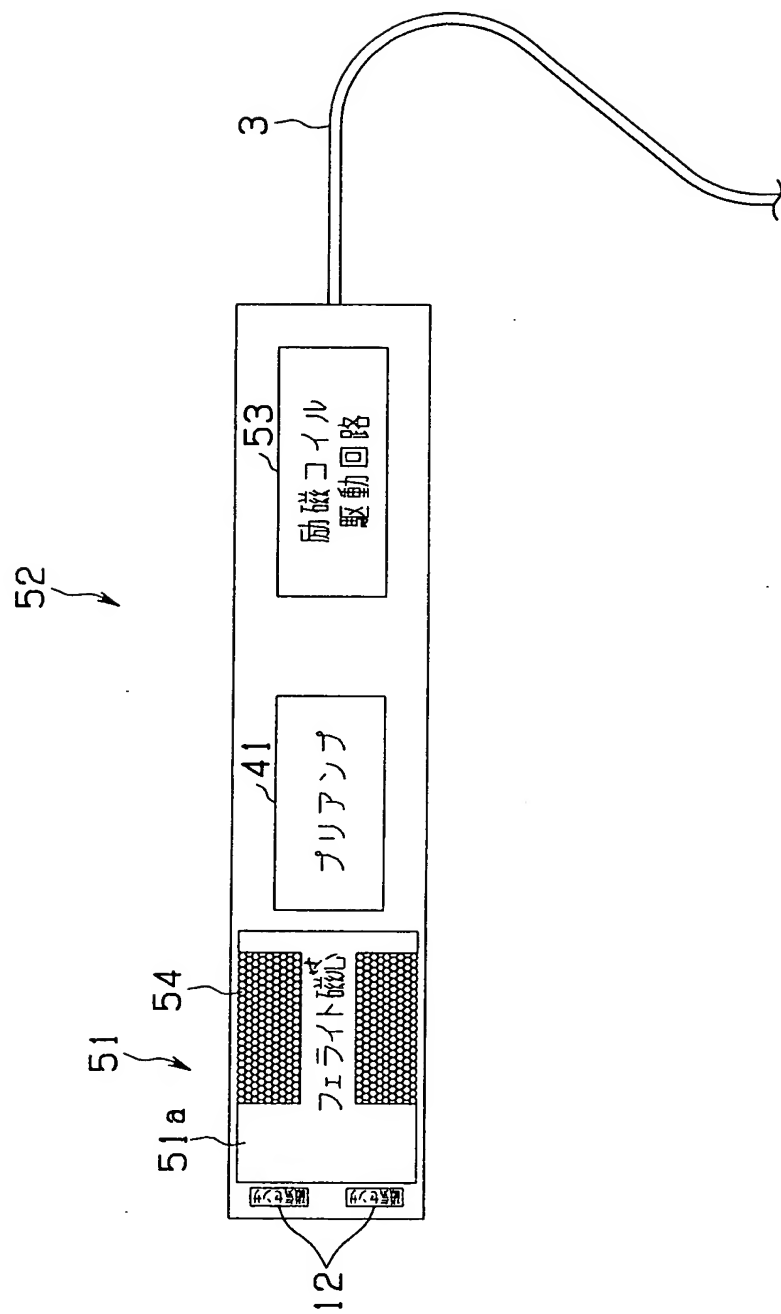
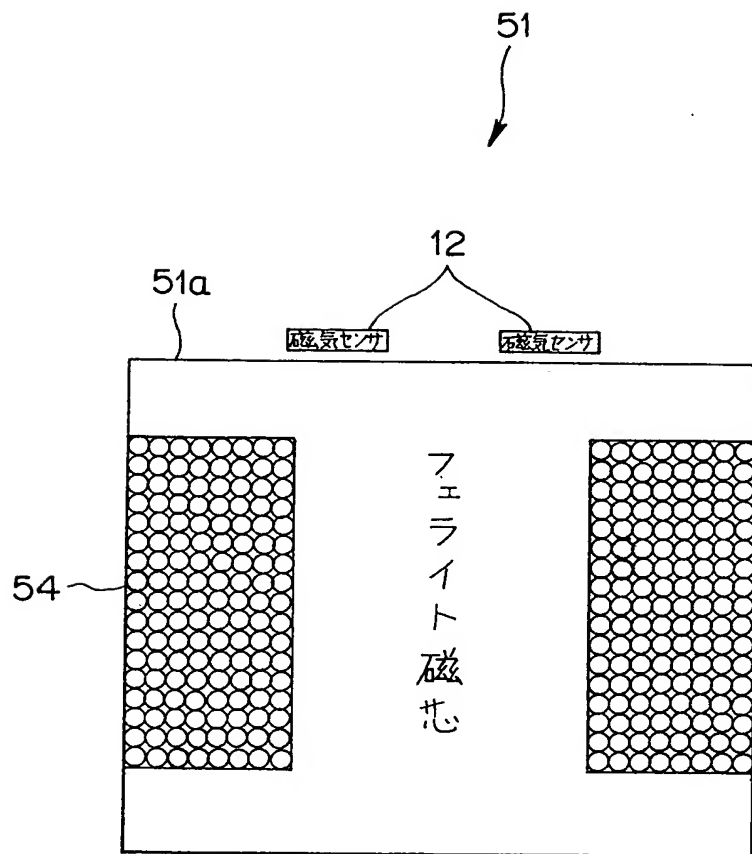


図 11



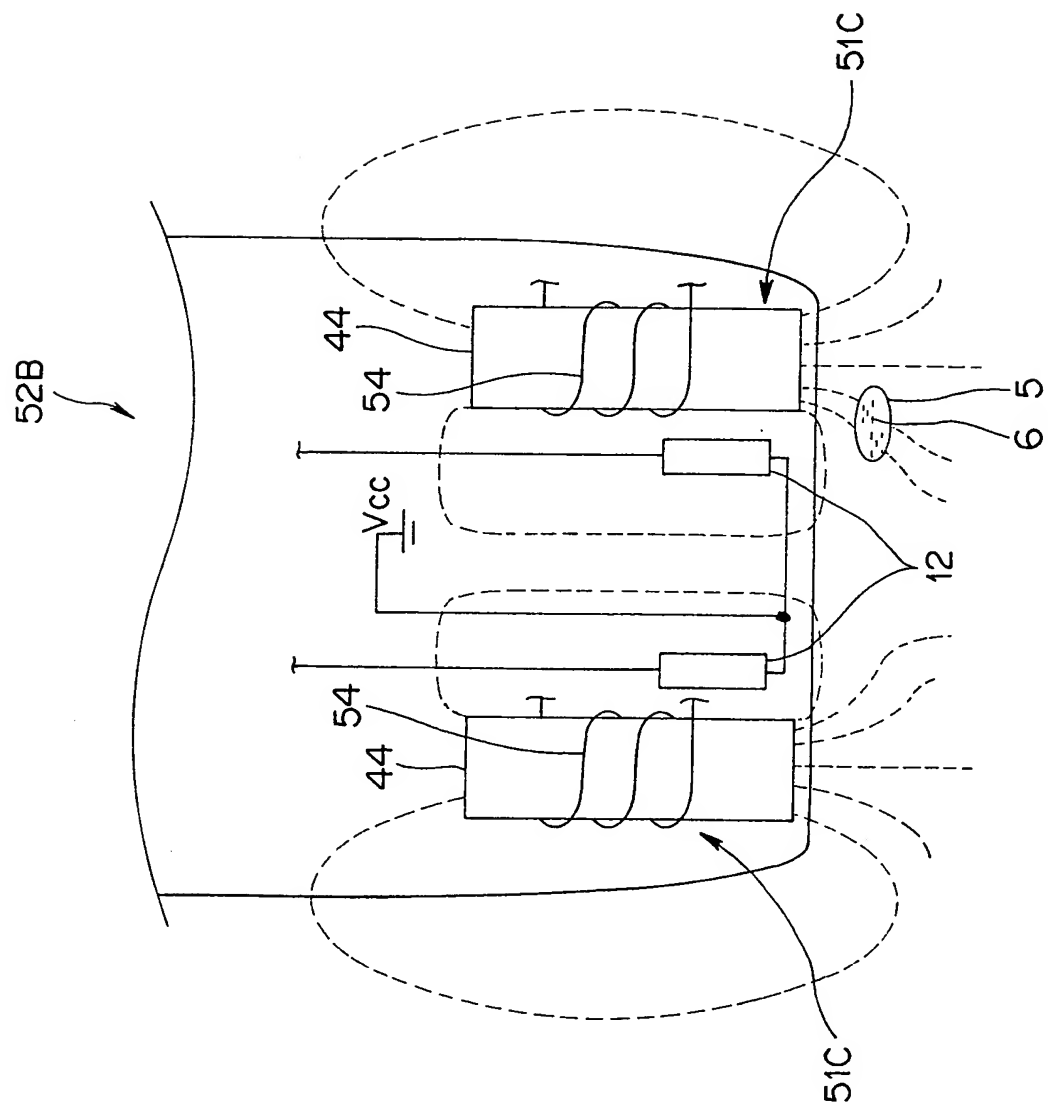


図14A

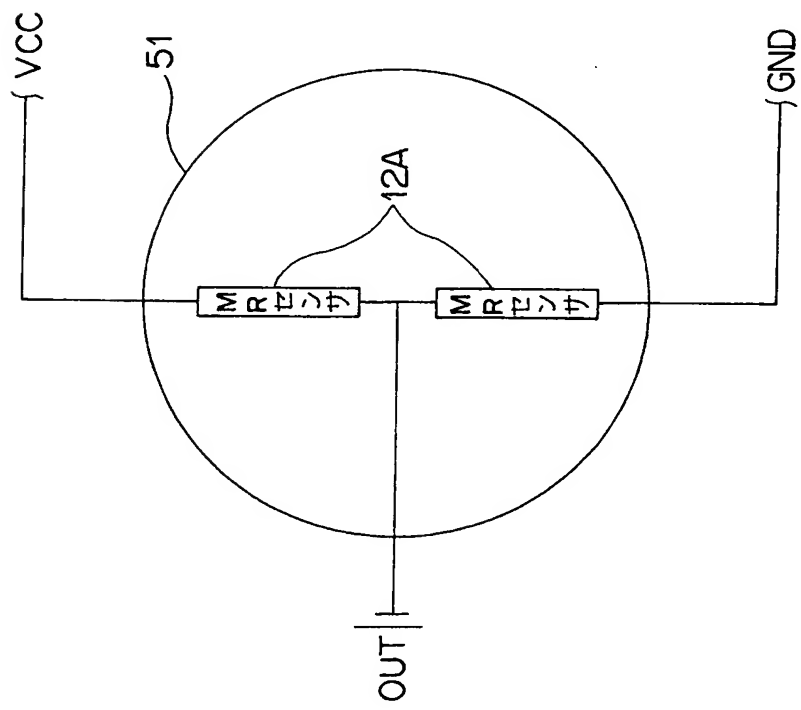


図14B

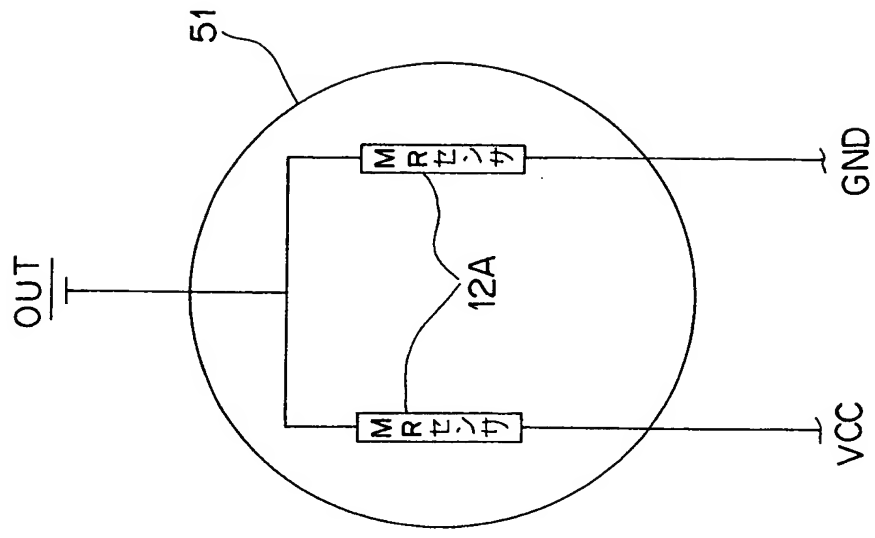


図15

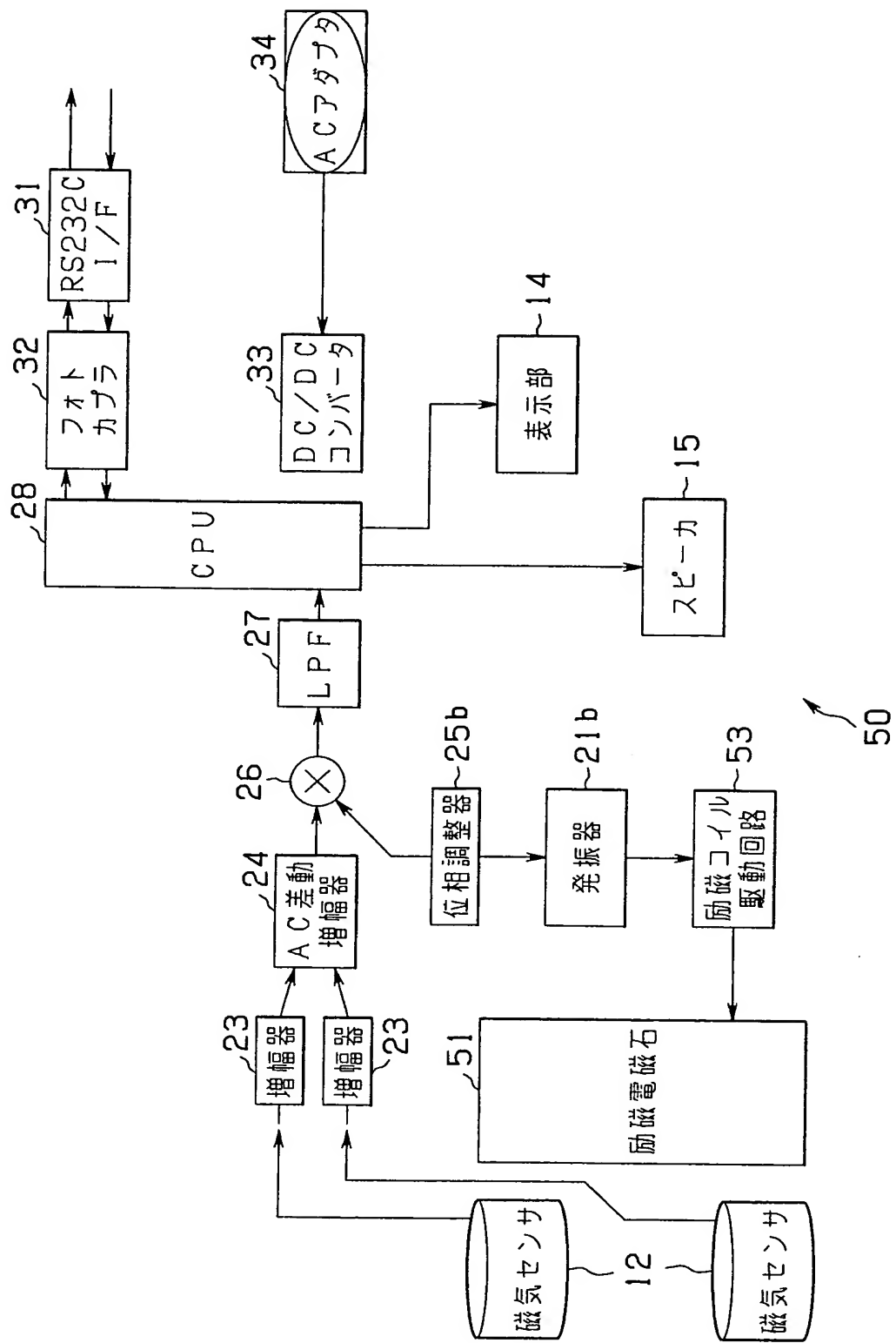


図17

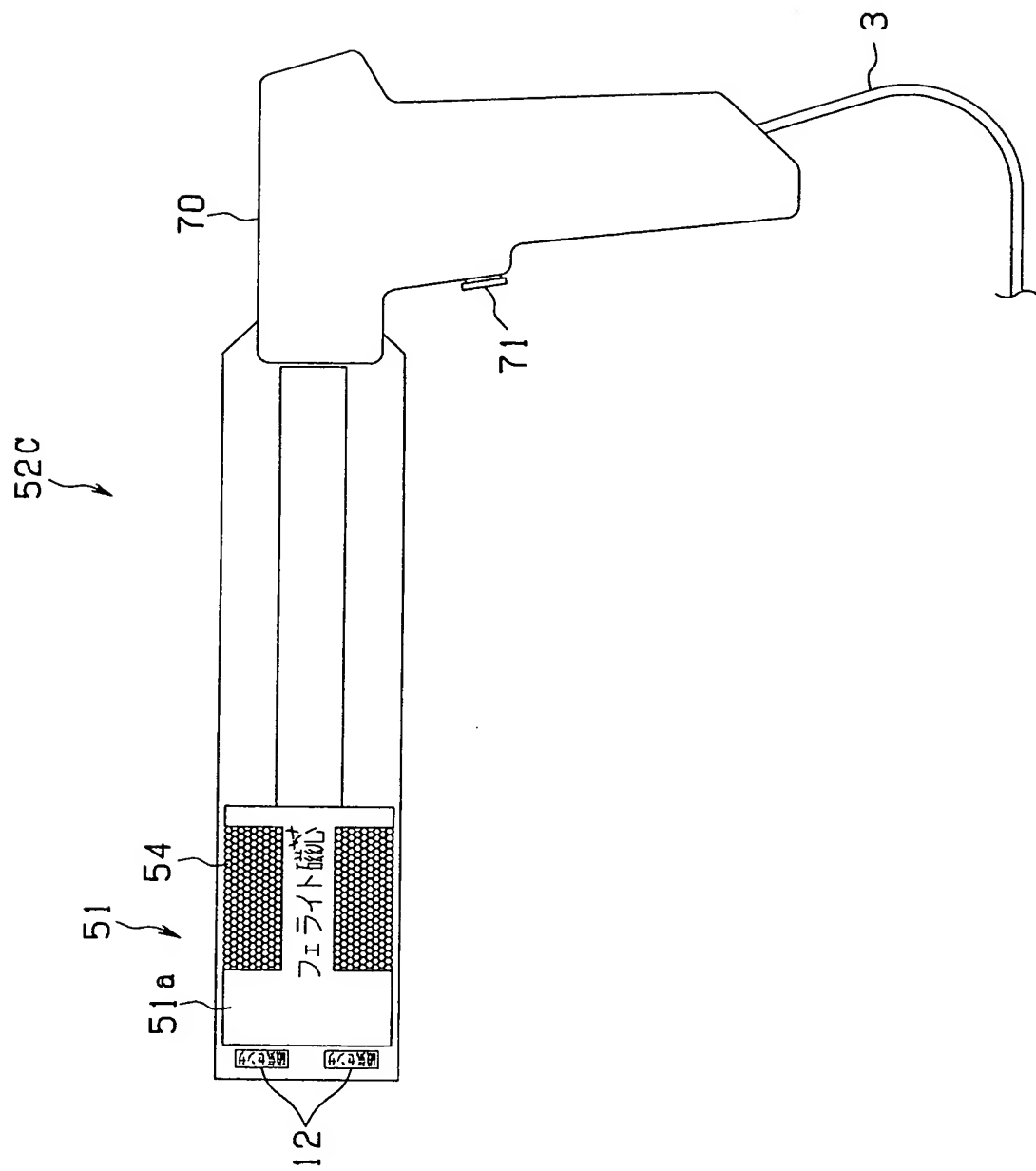


図18

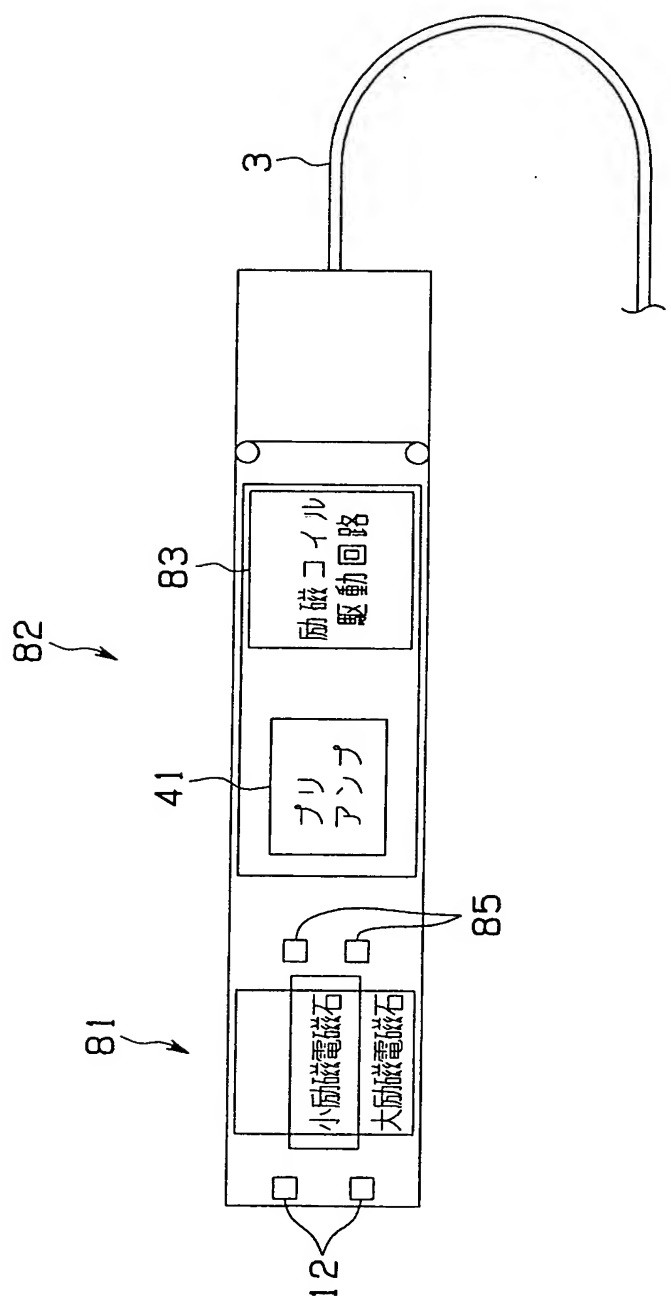


図 19

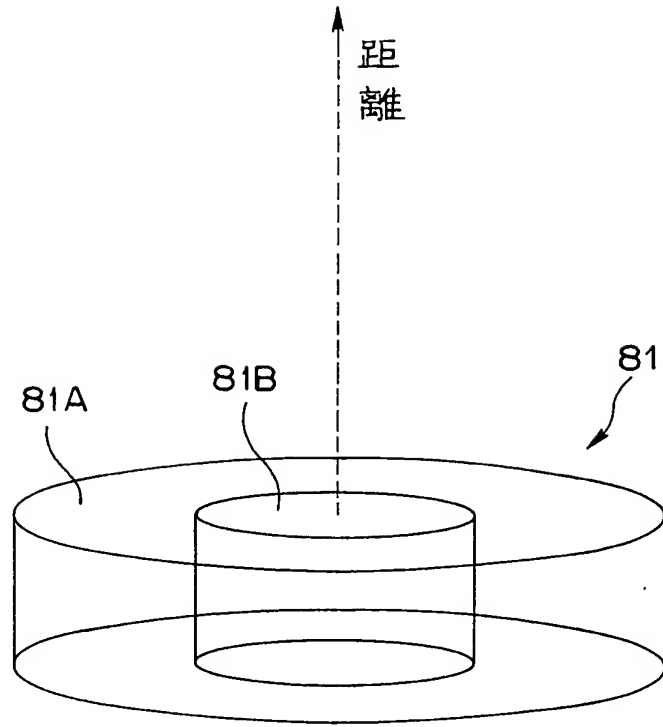
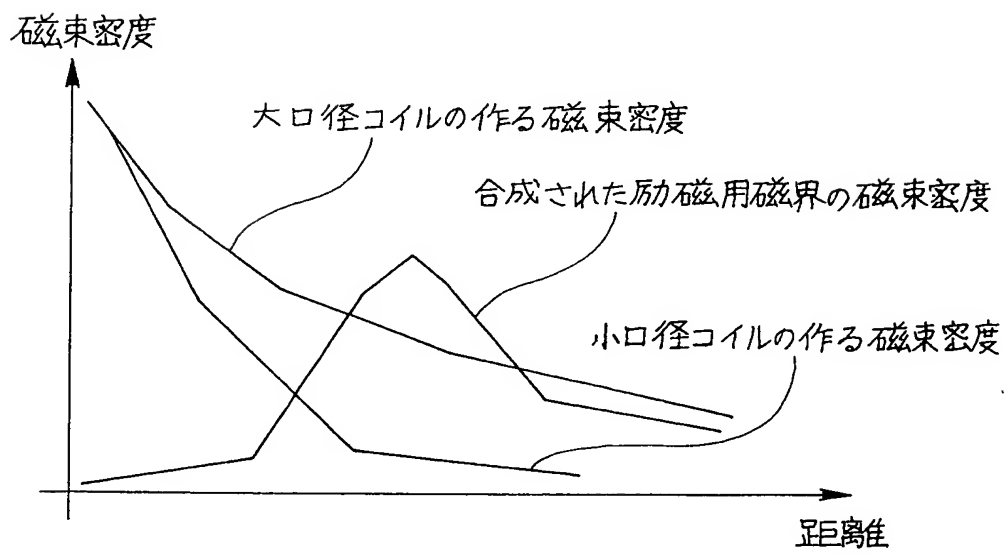


図 20



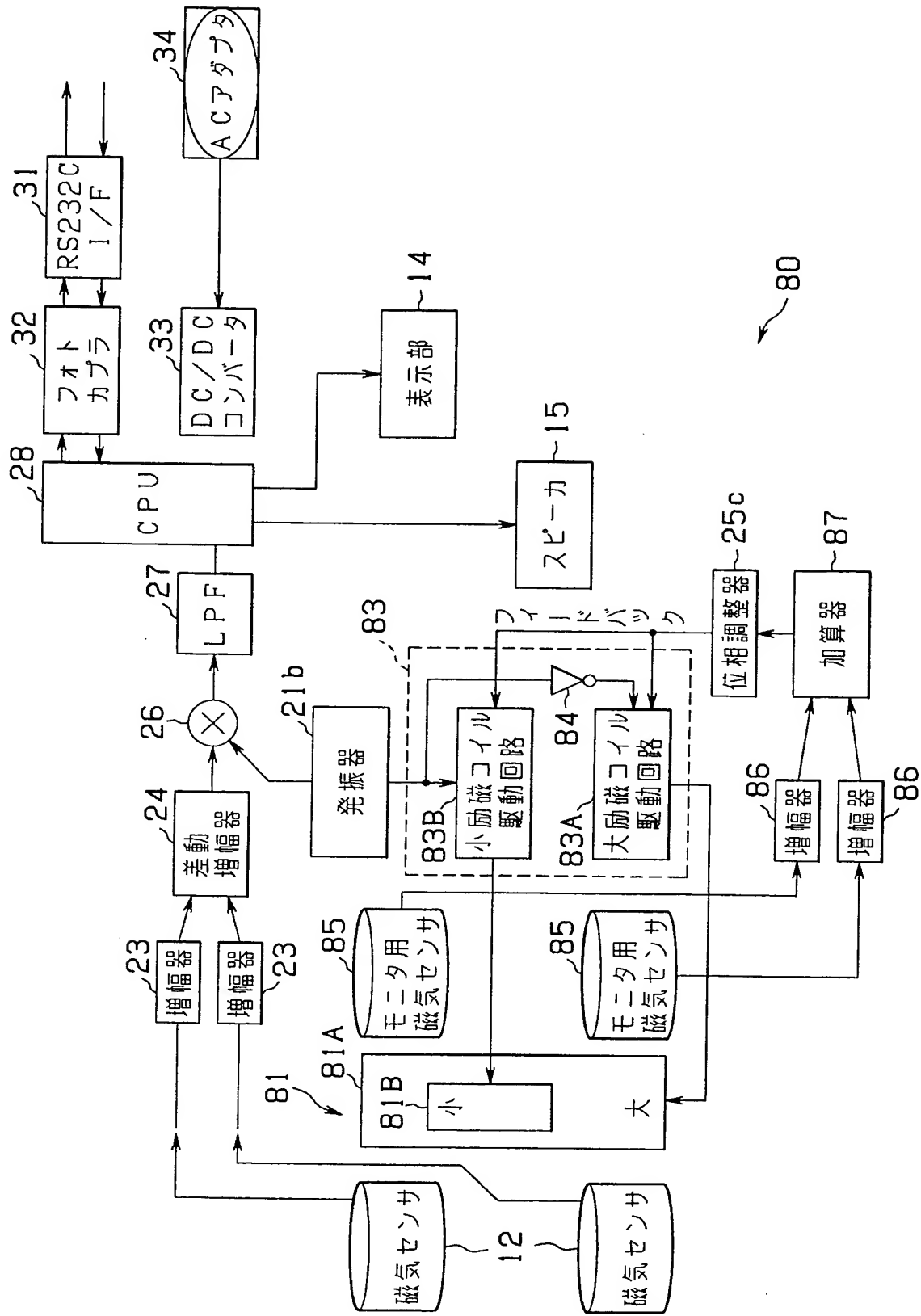
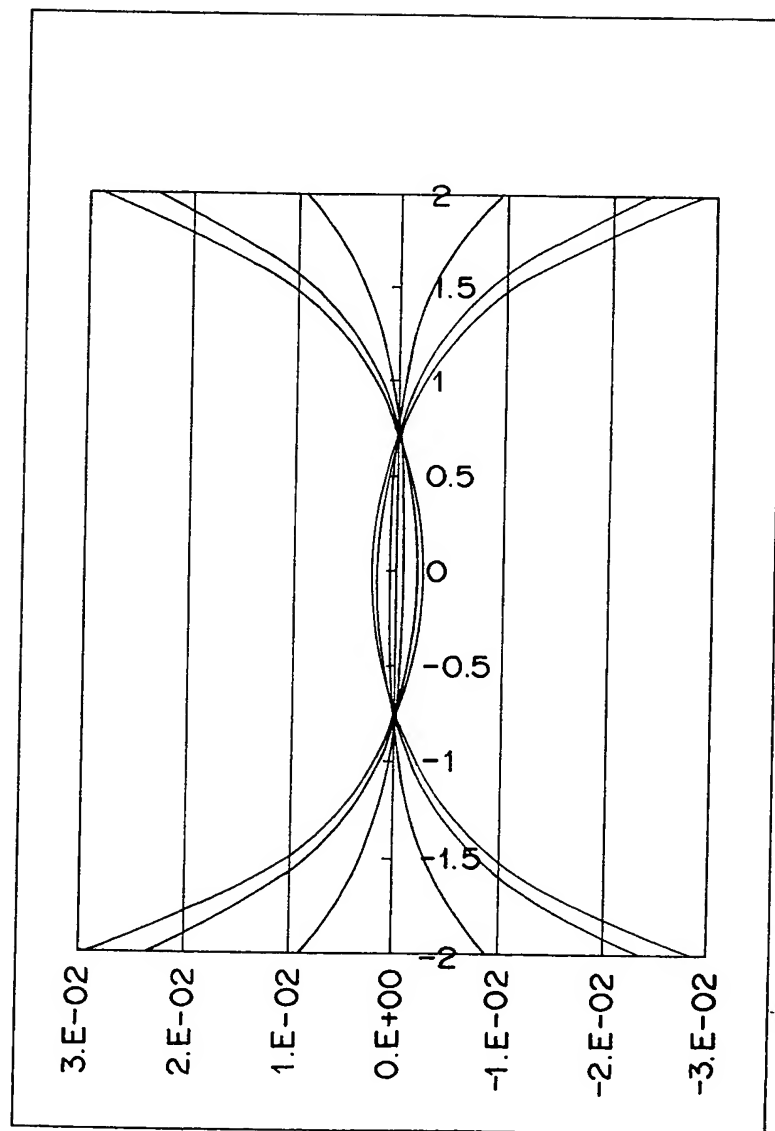
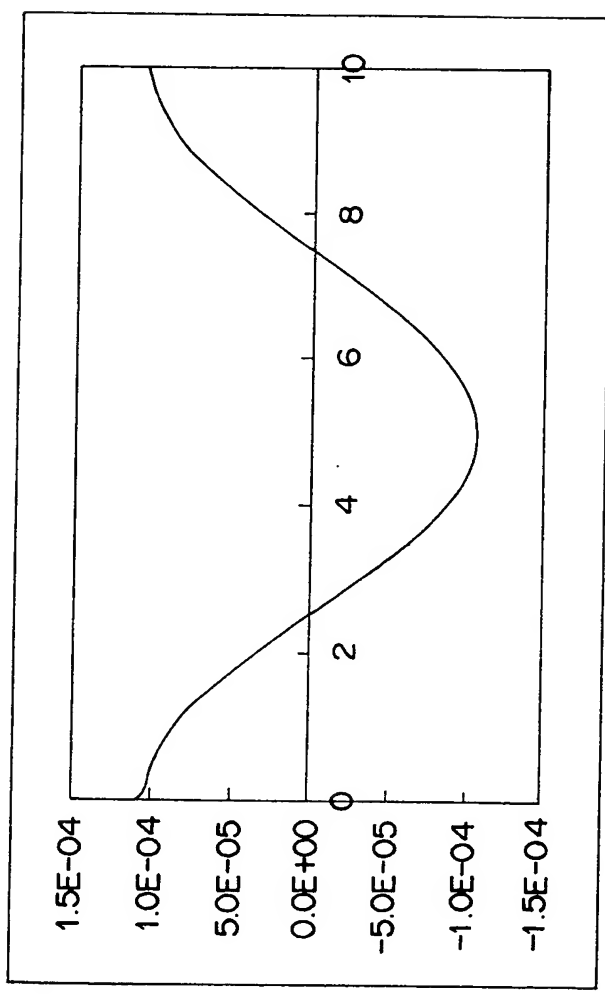


図22



X: センサ面位置 (mm)
Y: 磁束密度 (T)
時間変化による各位置での
磁束密度変化

図23



差動出力の時間変化
X: 交流磁界の変化時間 (s)
Y: センサの差動出力 (T)
センサ間隔: $\pm 0.75\text{mm}$
磁性体位置 X 軸 1mm Z 軸 1mm

図24

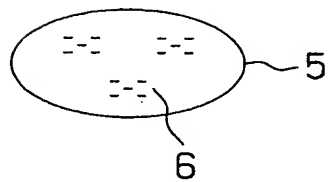
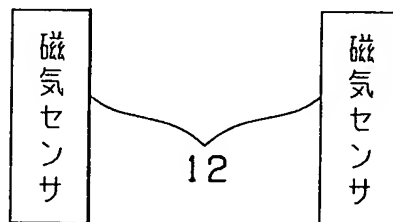
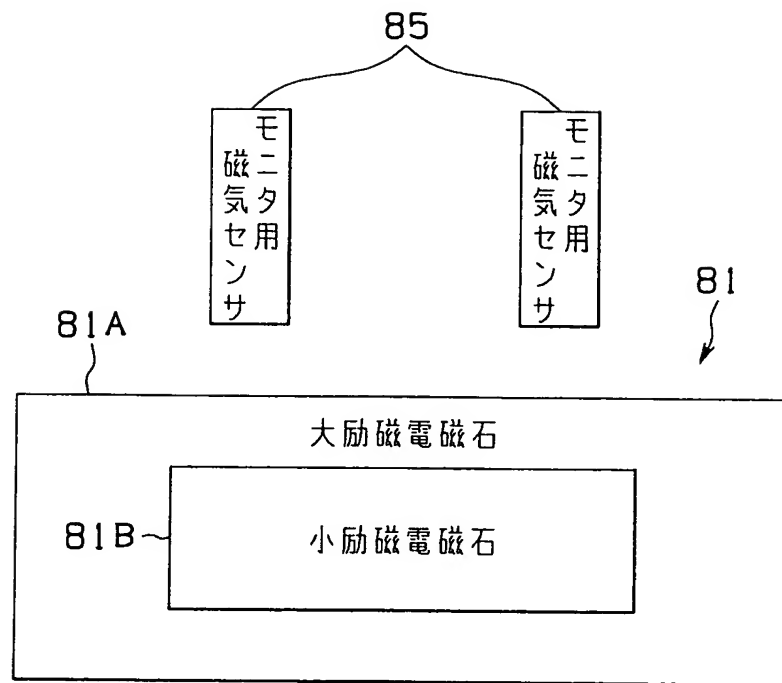


図25

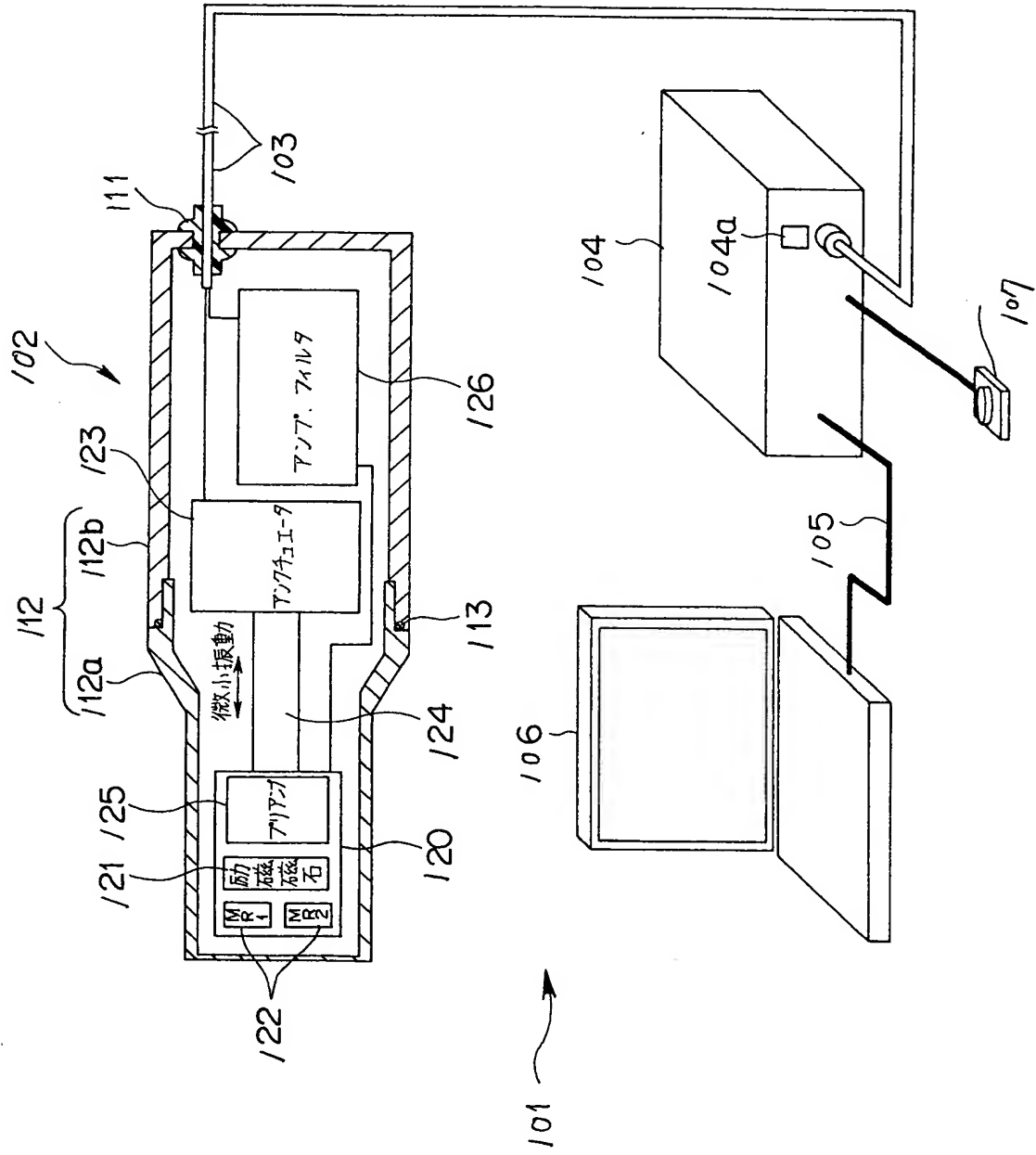


図26

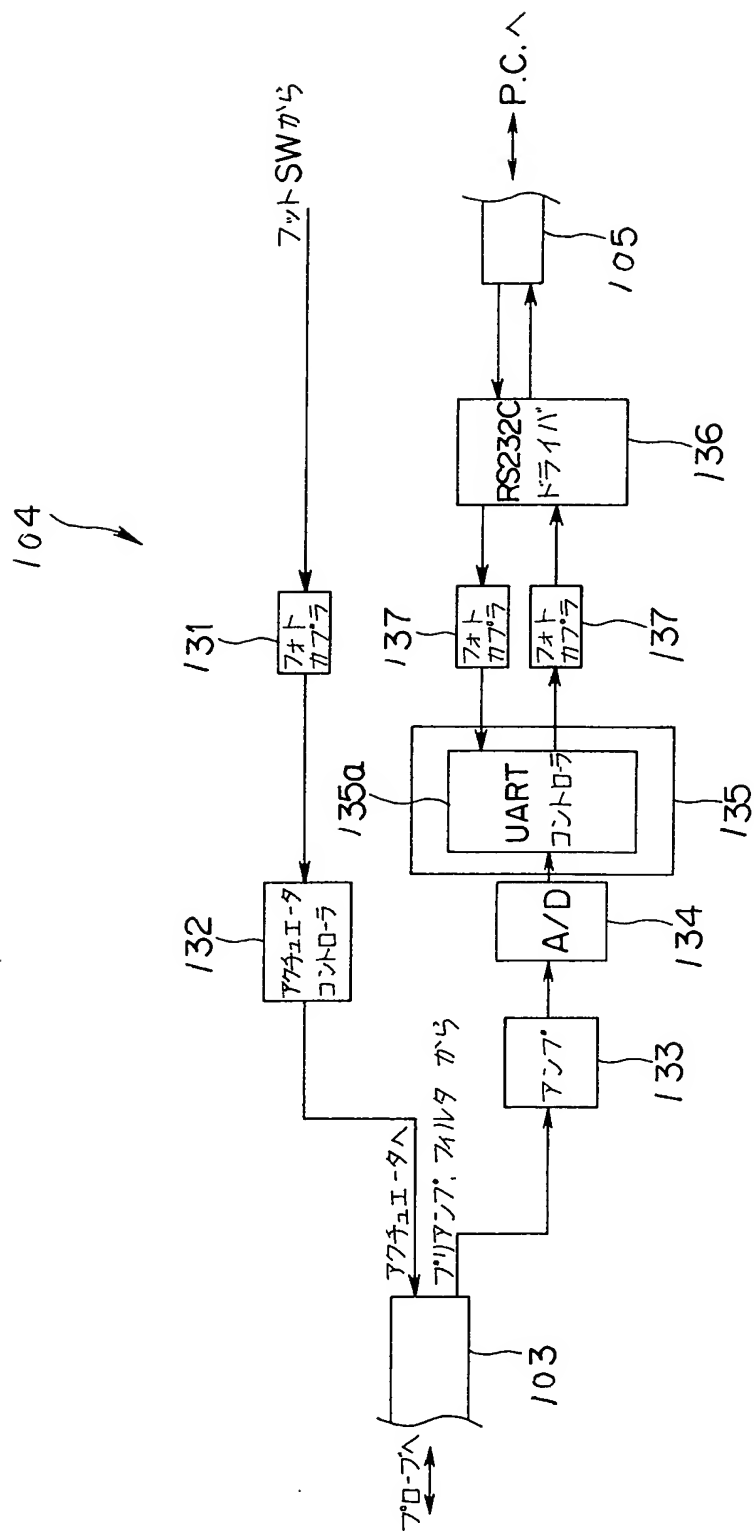


図27

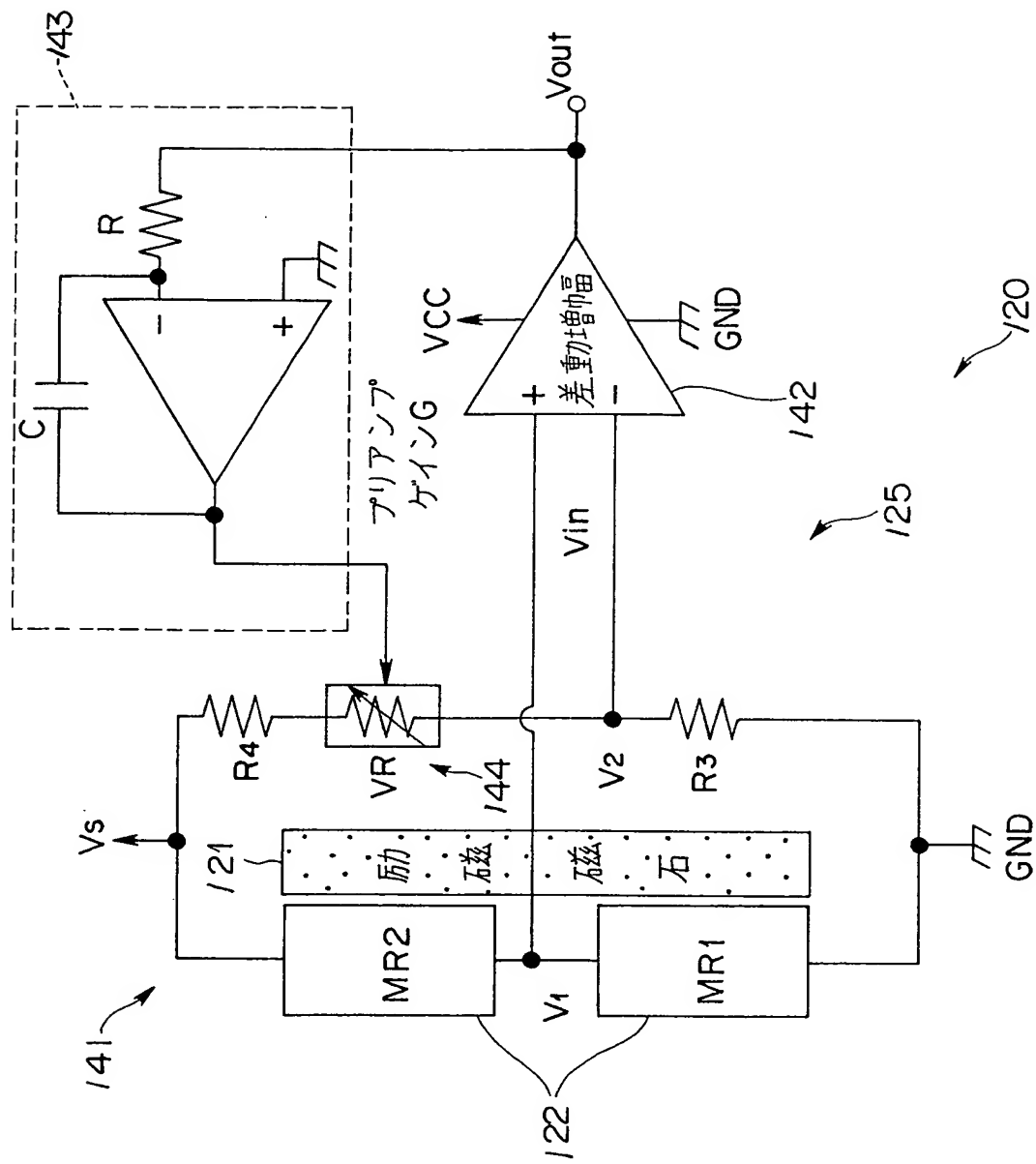


図28

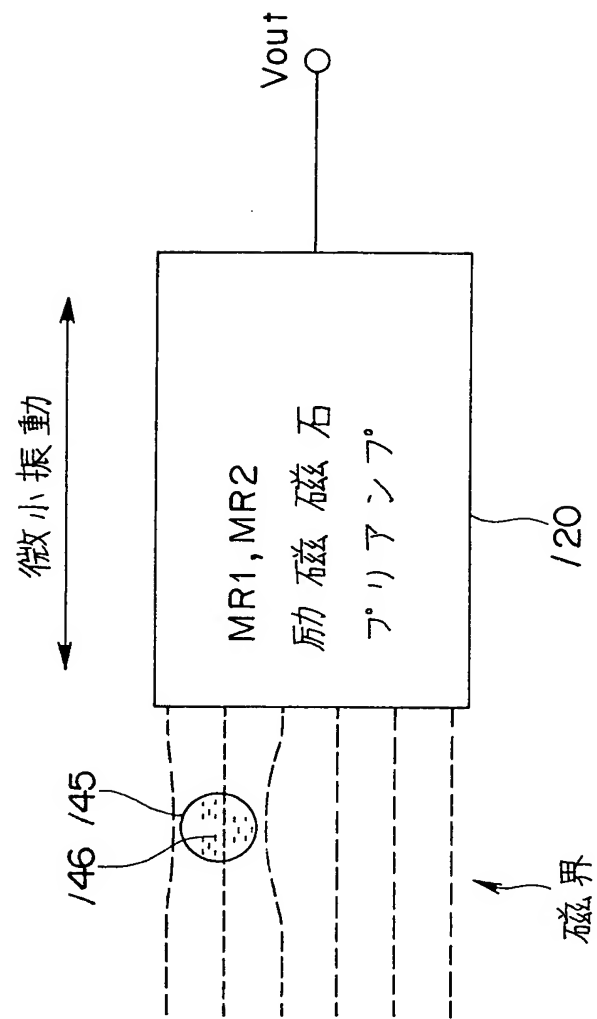


図29

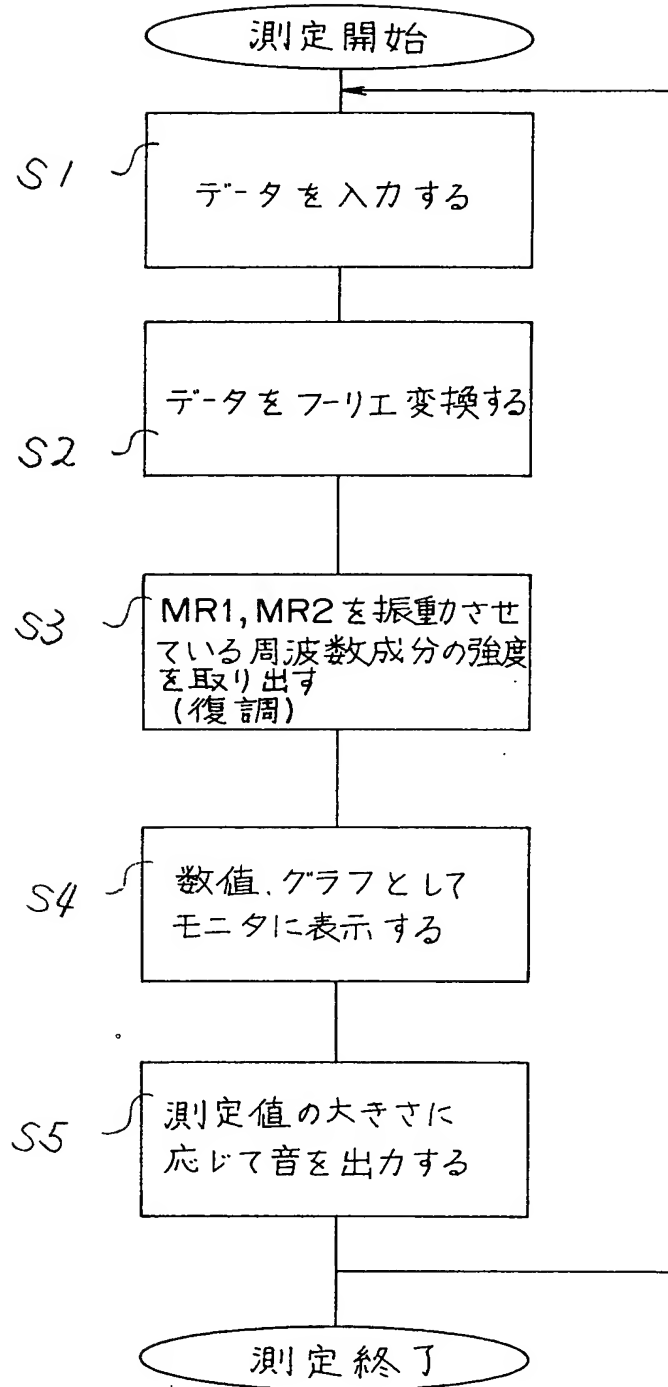


图 30

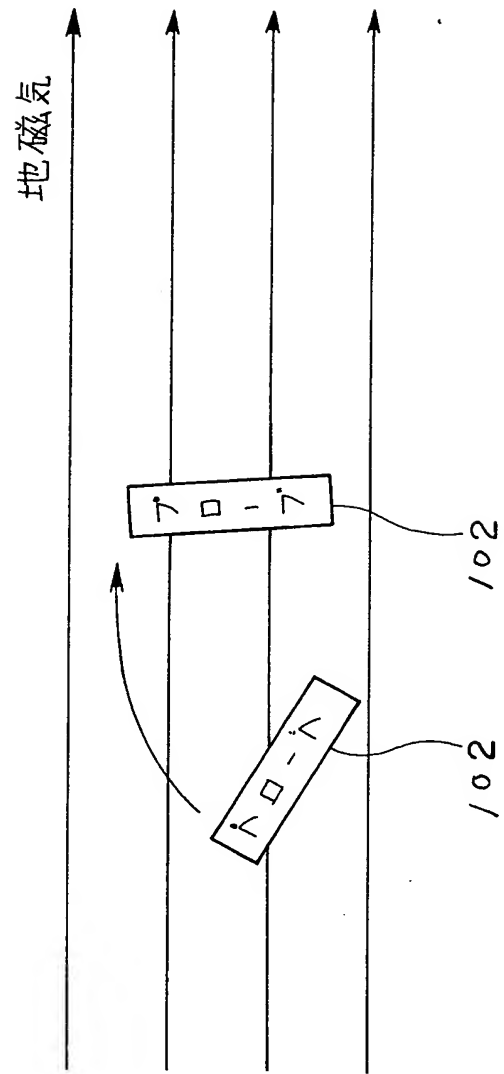


図31

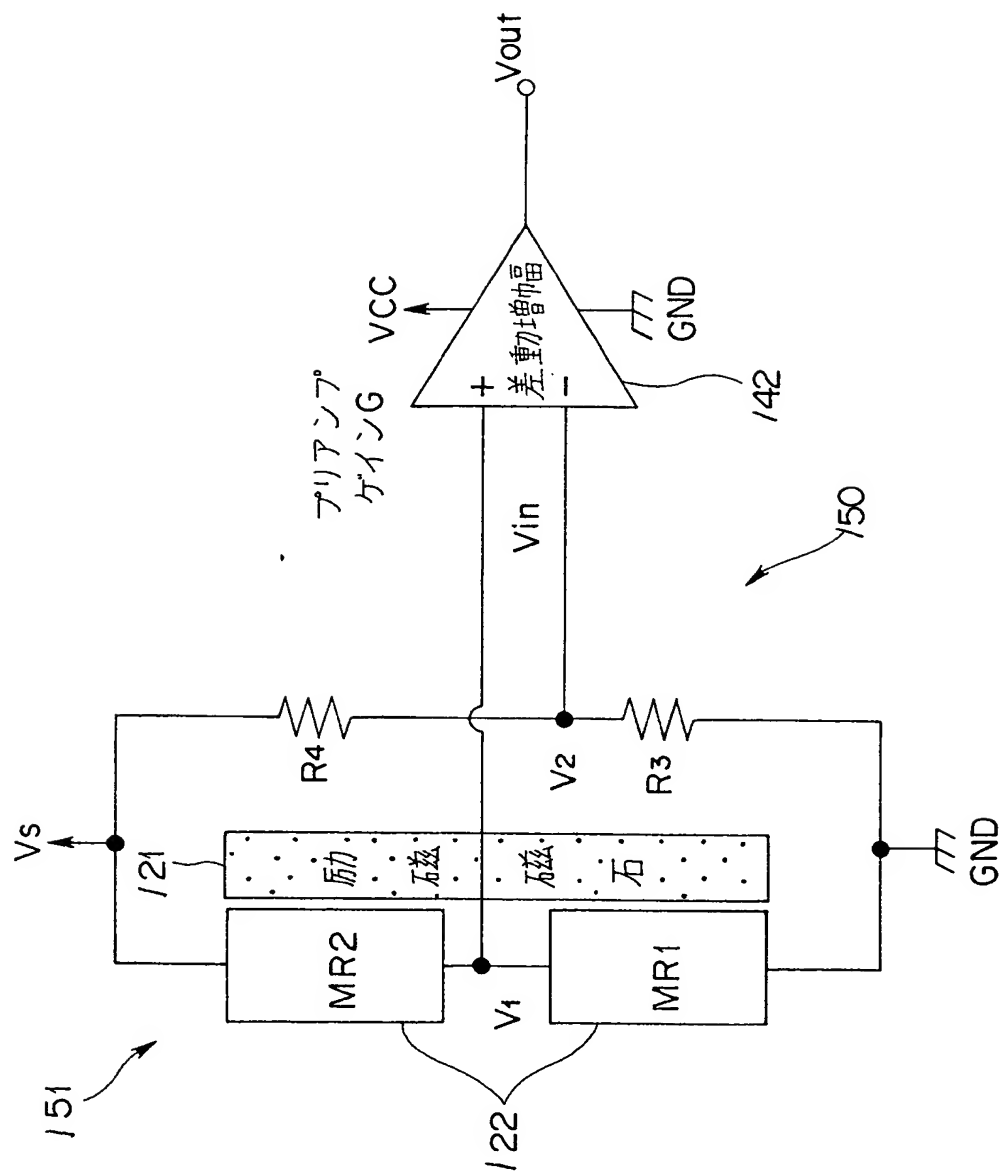


图32

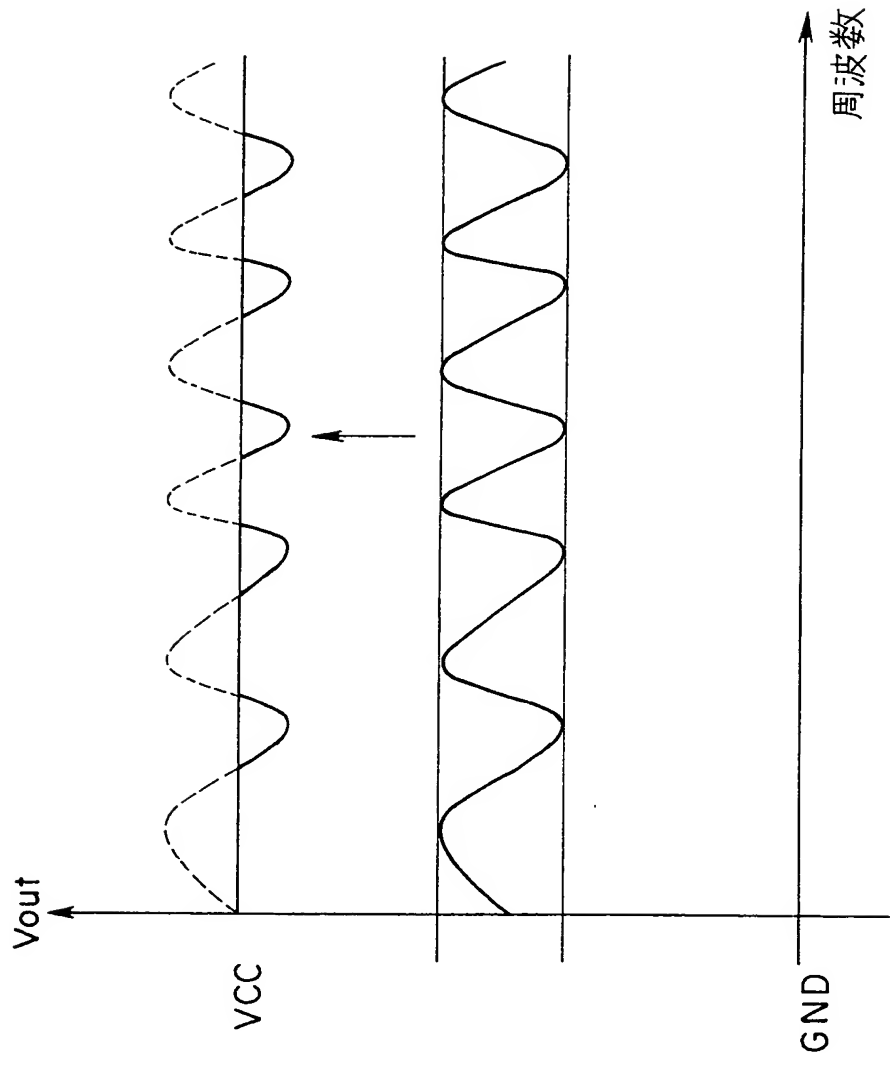


図33

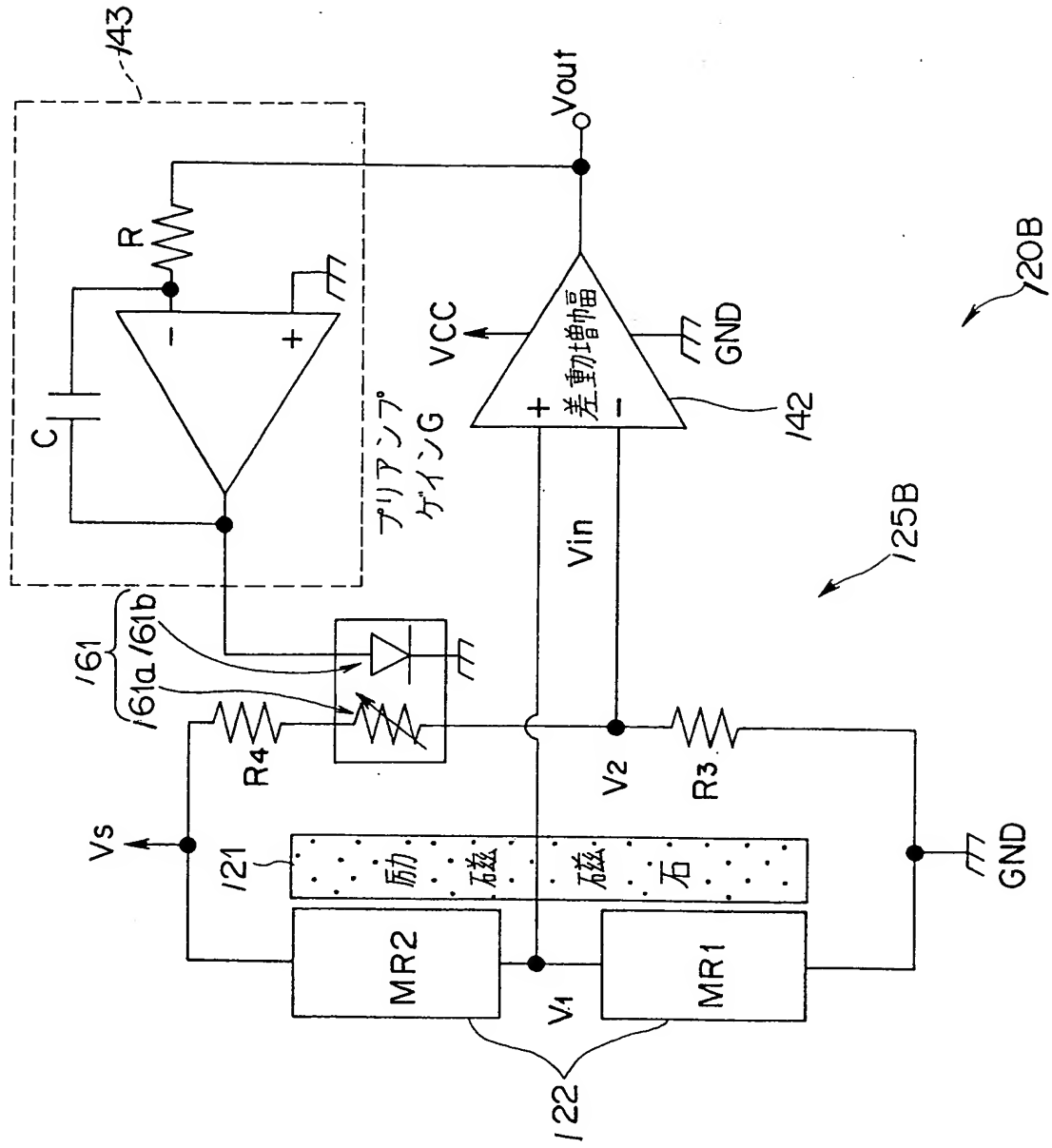
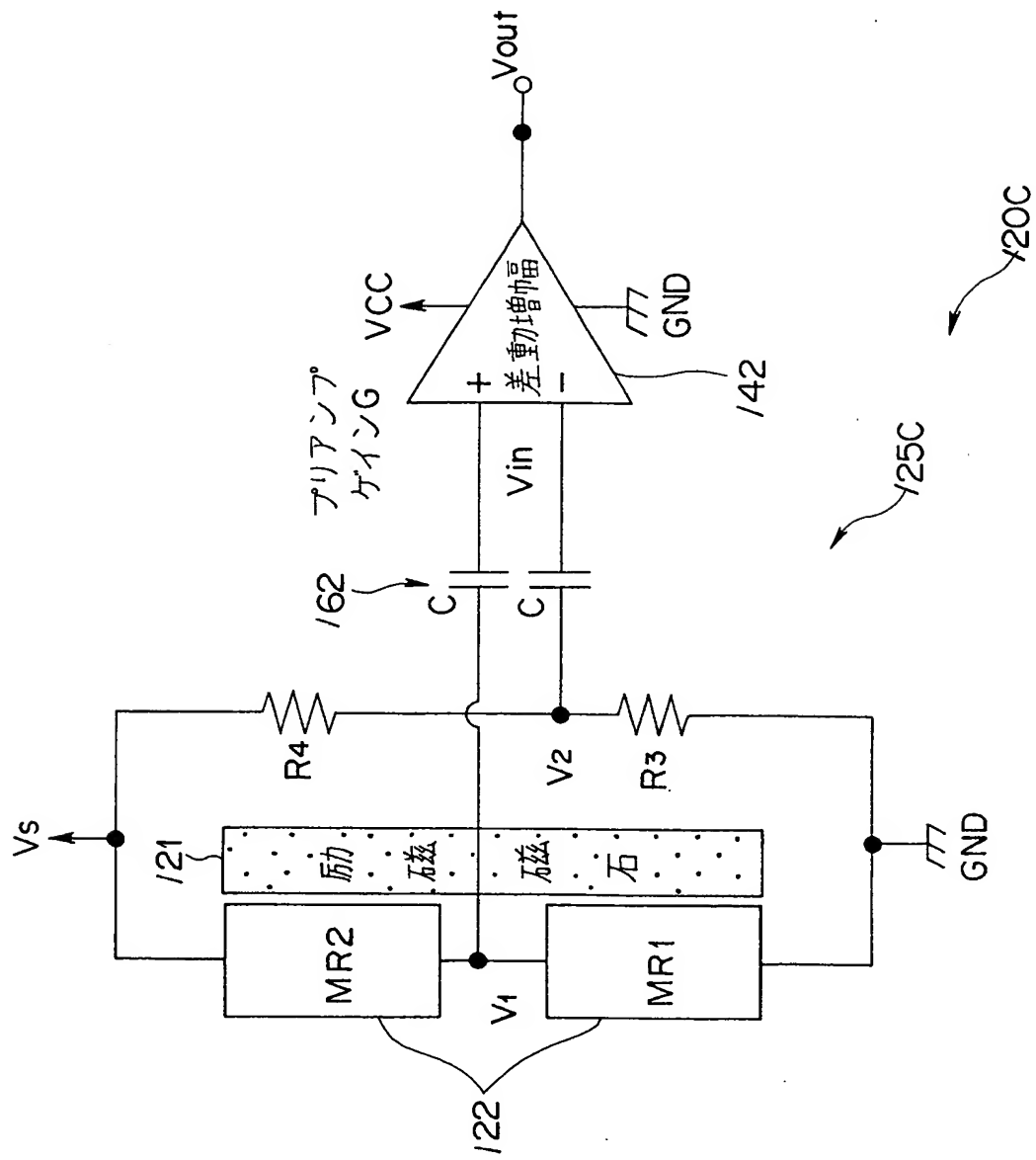


図34



25
25
25

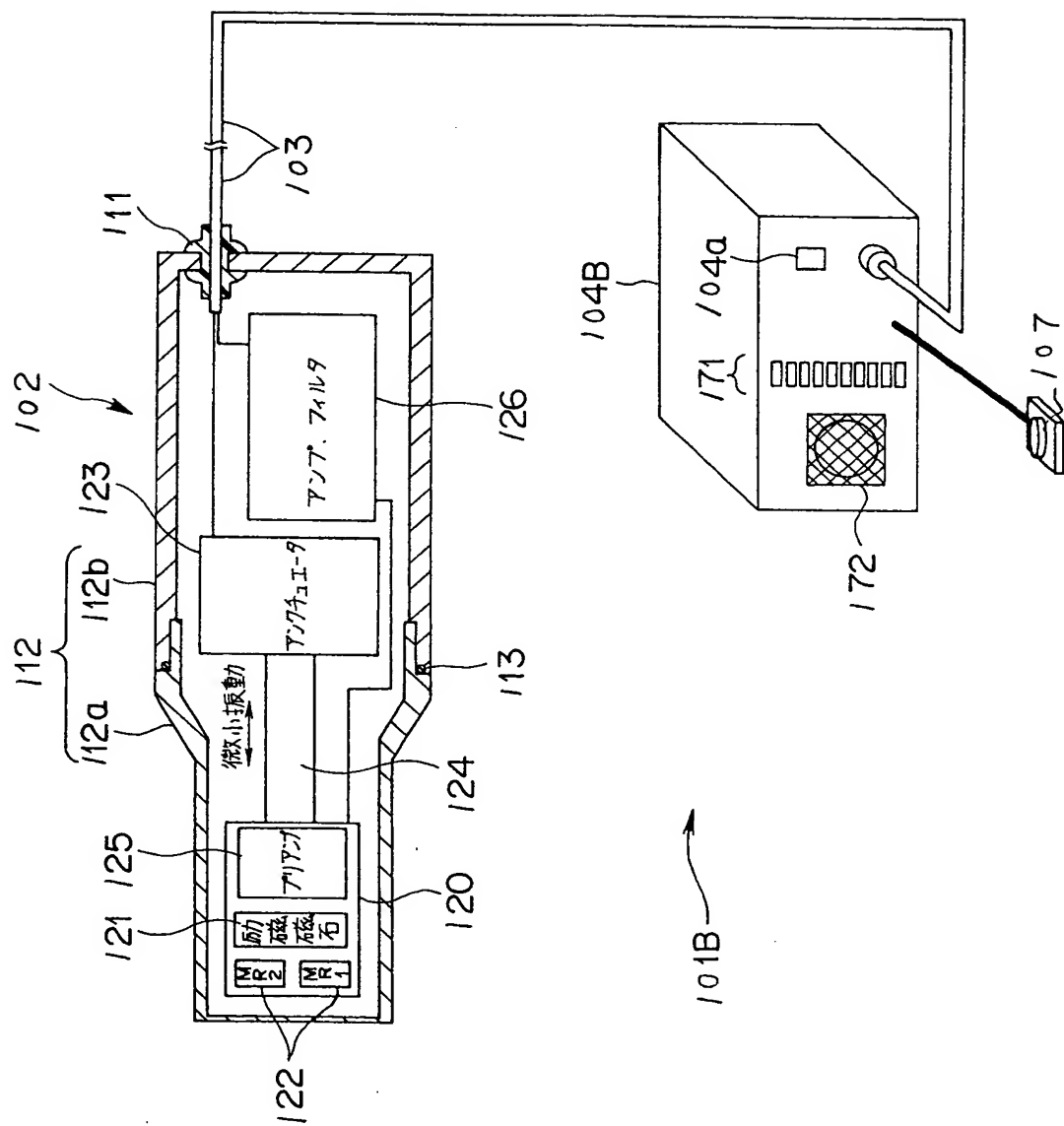


図36

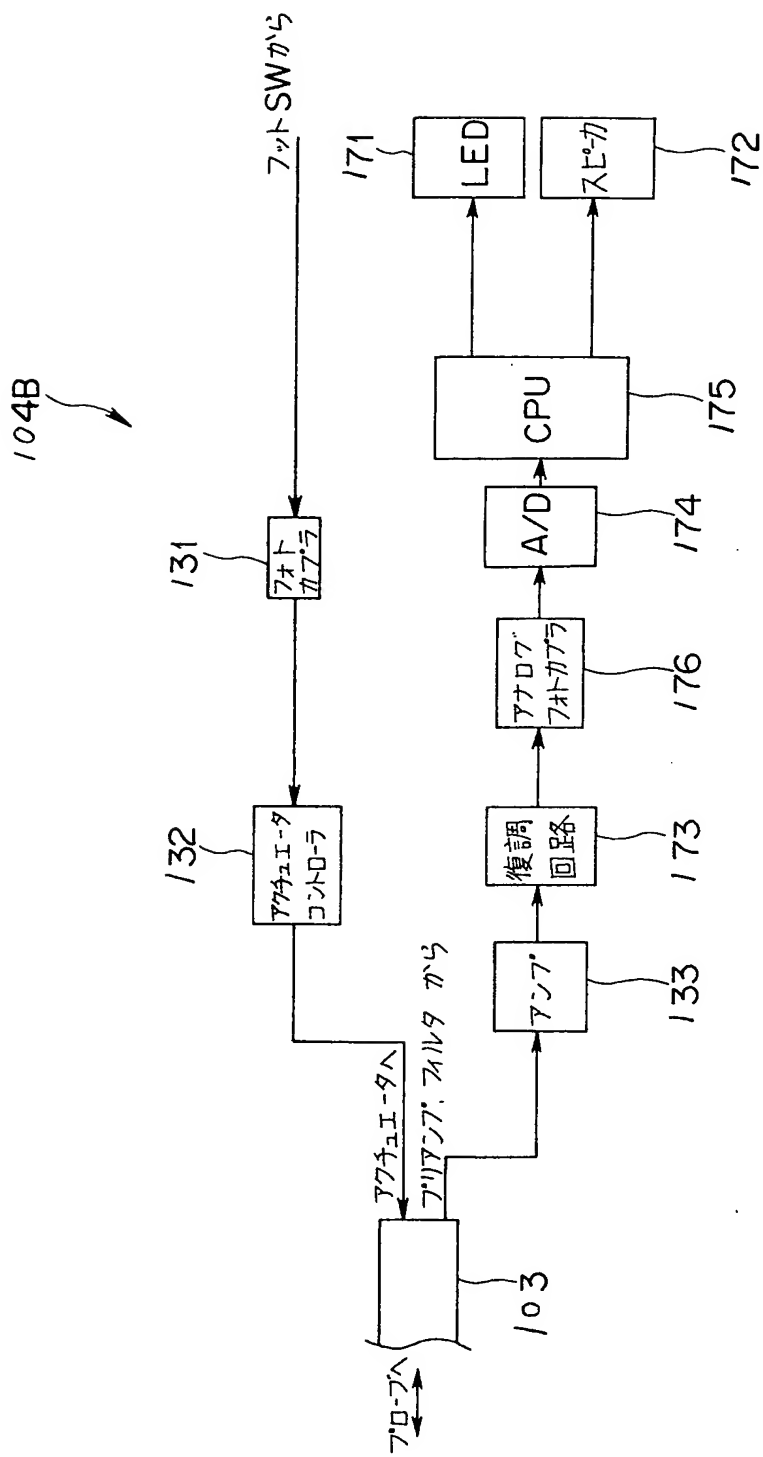


図37

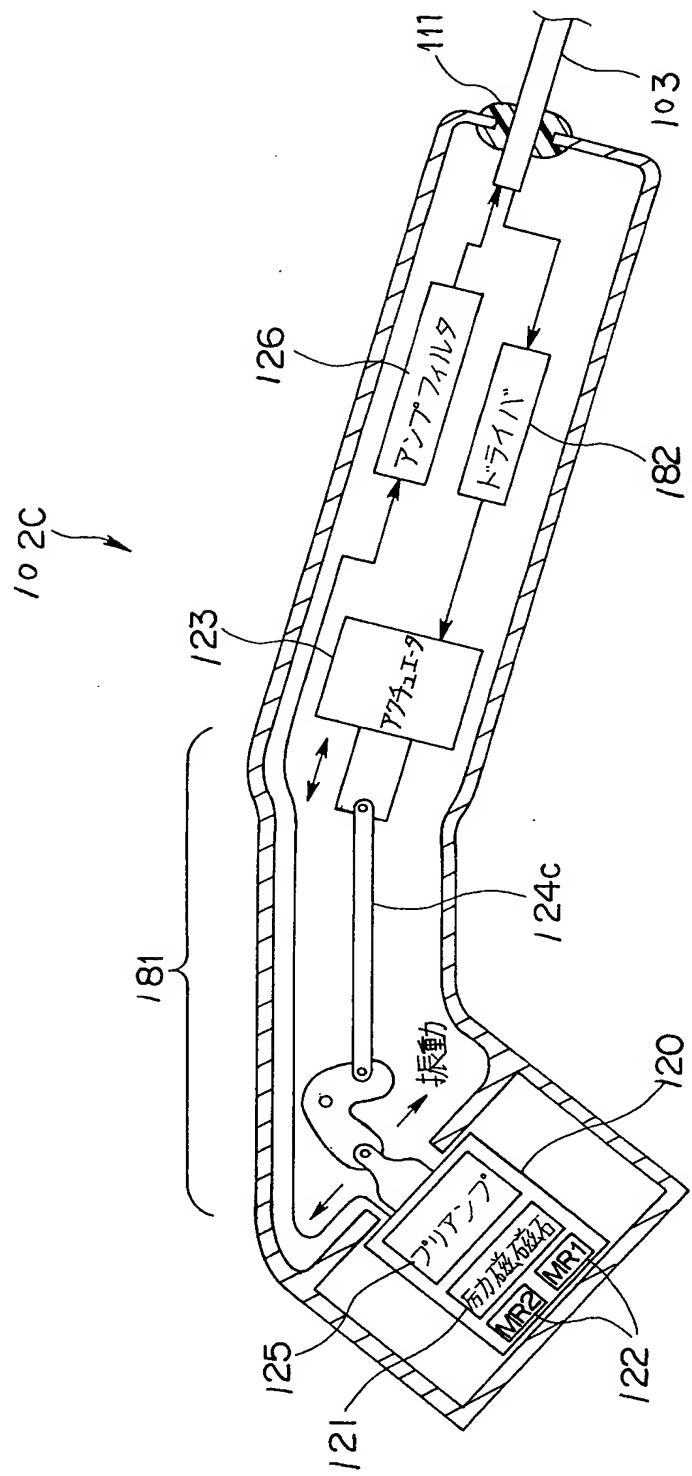


図38A

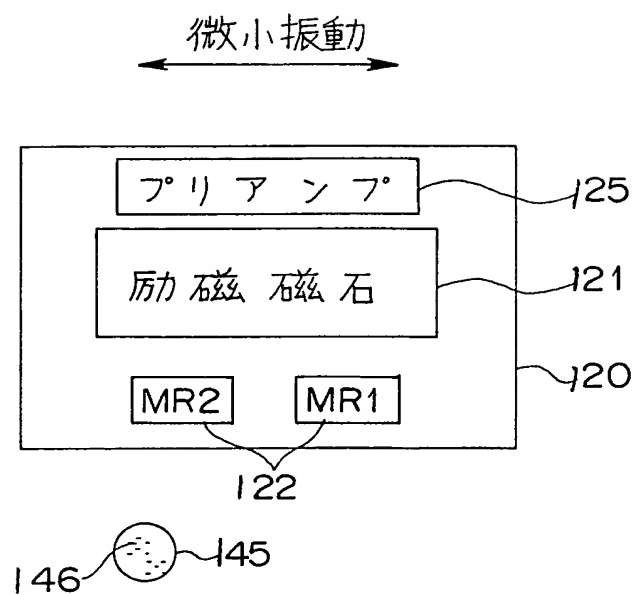


図38B

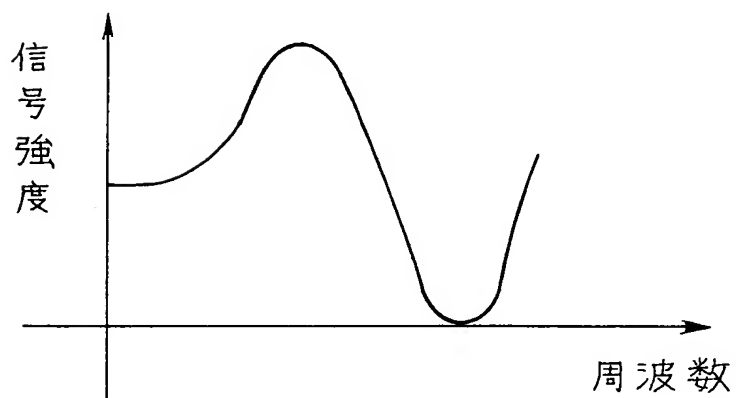


図39

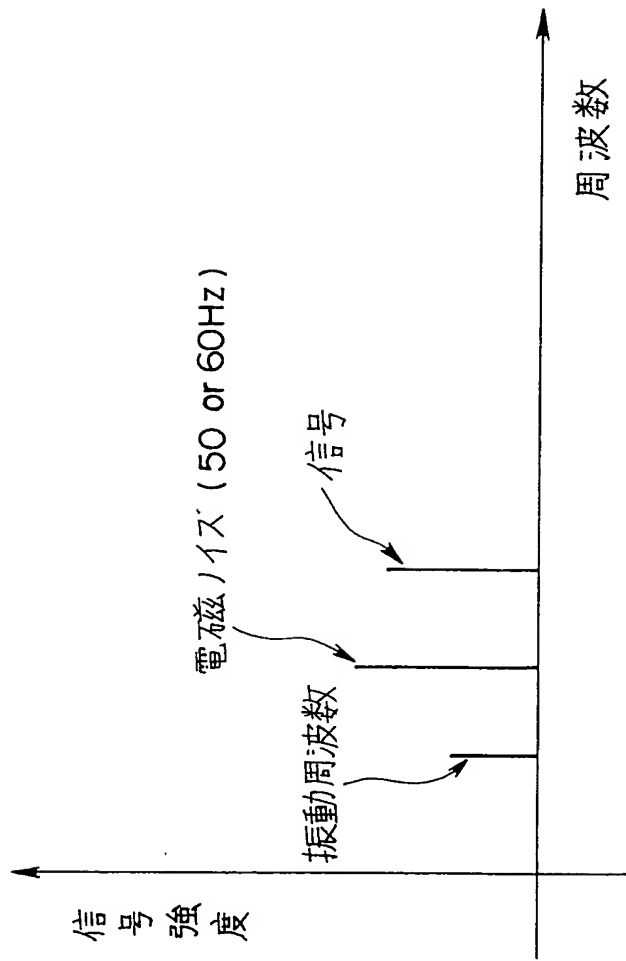


図40A

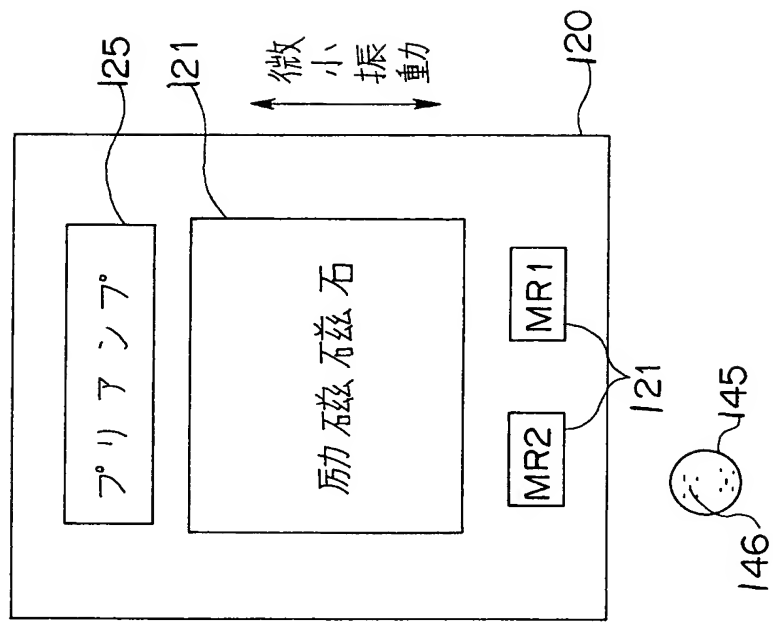


図40B

